



٩٤٢٢٩

۱۳۸۷/۱/۱۰  
۱۳۸۷/۱/۱۱



## گروه: مهندسی مکانیک ماشین‌های کشاورزی

تحلیل تنش در میل لنگ موتور چهار سیلندر خطی بنزینی Z24  
با استفاده از روش اجزاء محدود

استاد راهنما:

دکتر منصور راسخ

استاد مشاور:

مهندس عبدالحمید حسینی

توسط:

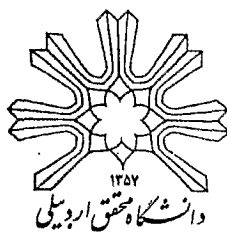
محمد رنجبر کهن

۱۳۸۷/۱/۱۰

دانشگاه محقق اردبیلی

تابستان ۱۳۸۷

۴۴۳۲۹



## تحلیل تنش در میل لنگ موتور چهار سیلندر خطی بنزینی Z24 با استفاده از روش اجزاء محدود

توسط:

محمد رنجبر کهن

پایان نامه برای آخذ درجه کارشناسی ارشد  
در رشته مهندسی مکانیک ماشین های کشاورزی  
از

دانشگاه محقق اردبیلی  
اردبیل - ایران

..... ارزیابی و تصویب شده توسط کمیته پایان نامه با درجه .....  
دکتر منصور راسخ (استاد راهنمای و رئیس کمیته داوران) ..... استادیار  
دکتر امیرحسین افکاری سیاح (داور داخلی) ..... استادیار  
دکتر علی جعفری (داور خارجی) ..... دانشیار  
مهندس عبدالحکیم حسینی (استاد مشاور) ..... مری  
..... ۱۳۸۷

شهریور - ۱۳۸۷

تقدیم به

پدر و مادرم

به پاس تشویق و حمایت‌های بی دریغشان

**تقدیر و تشکر:**

خداوند بخشنده و مهربان را حمد و سپاس می‌گویم که توفیق به انجام رساندن این پایان‌نامه را به بنده حقیر ارزانی داشت. تمام مشکلات و سختی‌ها را آسان نمود و در تمام لحظات یاور و مددکار من بود.

**سپاسگزارم از:**

- استاد راهنمای محترم پایان‌نامه، جناب آقای دکتر منصور راسخ که مرا با رهنمودهای بسی دریغ خود در طول اجرای این پروژه یاری نمودند ایشان برای من یک معلم علم و اخلاق بودند.

- استاد مشاور محترم پایان‌نامه، جناب آقای مهندس عبدالحمید حسینی که در اجرای مراحل مختلف این پایان‌نامه از هرگونه مساعدت و مشاورت دریغ ننموده‌اند و مرا با نظرهای ارزشمند و راهگشای خویش در طول اجرای این پروژه یاری نمودند.

- فائم مقام مدیر عامل شرکت مگاموتور مهندس سلیمانی که همکاری‌های لازم برای انجام این پروژه به عمل آورده‌ند. و همچنین کارشناس و پژوهشگر بخش مهندسی این شرکت جناب آقای دکتر نجفی برای مساعدت‌های بسی دریغشان، و همچنین کارشناس بخش پژوهش و توسعه شرکت مگاموتور مهندس الیاسی که با اختیار قرار دادن اطلاعات مورد نیاز، با من همکاری لازم را انجام دادند. همچنین از کارکنان محترم بخش تضمین کیفیت شرکت مگاموتور که با در اختیار قرار دادن فضای کاری و امکانات در تحقق این پایان‌نامه مساعدت داشتند. از مدیران محترم شرکت میلنگ کاران کاشان که به منظور آشنایی هر چه بهتر با مراحل ساخت میلنگ و قرار دادن قطعه‌ای از آن در اختیار بنده مرا یاری نمودند.

- مدیر گروه محترم گروه مهندسی مکانیک ماشین‌های کشاورزی جناب آقای دکتر عباسپور گیلاندی به خاطر تمام مساعدت‌های بسی شایبه خود.

- خانواده عزیزم که با حمایت‌های بسی دریغ و همه جانبه‌شان توان پیمودن این مسیر را مهیا نمودند.

- دوستان عزیزم که در طول تحصیل و انجام این پژوهش کمک‌های شایانی داشتند.

نام: محمد	نام خانوادگی دانشجو: رنجبر کهنه
عنوان پایان نامه: تحلیل تنش در میل لنگ موتور چهار سیلندر خطی بنزینی Z۲۴ با استفاده از روش اجزاء محدود	
استاد راهنما: دکتر منصور راسخ	
استاد مشاور: مهندس عبدالحمید حسینی	
مقطع تحصیلی: کارشناسی ارشد	
رشته: مهندسی مکانیک ماشین های کشاورزی	
دانشکده: کشاورزی	تاریخ فارغ التحصیلی: ۸۷/۶/۲۷
تعداد صفحه: ۱۱۸	
کلید واژه: میل لنگ، تحلیل تنش، فرکانس های طبیعی، روش اجزاء محدود، سرعت بحرانی، تشدید	
<p>چکیده: میل لنگ به عنوان عضو اصلی موتورهای احتراق داخلی همواره در معرض اعمال بارهای متنوع، بزرگ، آنی و متغیر است و همین موضوع طراحی، مدل سازی و افزایش طول عمر آنرا با مشکلات زیادی روبرو ساخته است. در این تحقیق میل لنگ موتور Z۲۴ در دو حالت تمام بار و دنده معکوس با استفاده از روش اجزاء محدود مورد تحلیل تنش قرار گرفته است. به منظور استخراج مقادیر نیروهای محرك اعمالی وارد بر میل لنگ از تحلیل دینامیکی مکانیزم لنگ با دو روش حل معادلات نیوتونی و نرم افزار Adams/Engine استفاده گردید. همچنین به منظور بهینه سازی و کاهش تنش های ایجاد شده در میل لنگ میزان شعاع فیلت یاتاقانها اصلاح شد. همچنین معلوم شد با افزایش شعاع فیلت یاتاقانها تنش ایجاد شده در این قسمت های میل لنگ کاهش می یابد. برای مدل سازی و اعمال شرایط مرزی بر روی میل لنگ از نرم افزار اجزاء محدود MSC/Patran و برای تحلیل تنش میل لنگ از نرم افزار اجزاء محدود MSC/Nastran استفاده شد. بیشترین تنش ایجاد شده در میل لنگ در سرعت های بالای دنده معکوس و در فیلت یاتاقان متحرک چهارم بود. پس از تحلیل تنش در بحرانی ترین حالت های ایجاد تنش تعداد سیکل های خستگی میل - لنگ معلوم شد. در نهایت برای بررسی پدیده تشدید در میل لنگ با تحلیل ارتعاشات آزاد میل لنگ توسط نرم افزارهای اجزاء محدود فوق، فرکانس های طبیعی میل لنگ در شکل مودهای مختلف استخراج شد. با استفاده از فرکانس های طبیعی سرعت های بحرانی میل لنگ محاسبه شد و از مقایسه آن با سرعت کاری میل لنگ معلوم شد میل لنگ به حالت تشدید نمی رسد.</p>	

## فهرست مطالب

۱	فصل اول - مقدمه و مروایی بر تحقیقات گذشته
۲	۱-۱ مقدمه و ضرورت تحقیق
۵	۱-۲-۱ اهداف تحقیق
۶	۱-۳ مروایی بر تحقیقات گذشته
۱۲	۱-۴ ملاحظات طراحی و ساخت میل لنگ
۱۴	فصل دوم - مواد و روش ها
۱۵	۲-۱ تحلیل دینامیکی مکانیزم لنگ
۱۵	۲-۱-۱ مقدمه
۱۶	۲-۱-۲ نحوه عملکرد موتور چهار زمانه
۱۷	۲-۱-۳ منحنی $P-\theta$ در سیلندر
۱۹	۲-۱-۴ مکانیزم لنگ
۲۰	۲-۱-۵ تعیین نیروهای وارد بر یاتاقان های متحرک
۲۰	۲-۱-۵-۱ تعیین نیروها با روش حل معادلات نیوتونی (روش دستی)
۲۹	۲-۱-۵-۲ تعیین نیروها توسط تحلیل دینامیکی مکانیزم لنگ در نرم افزار آدامز انجین ۲۰۰۵
۳۱	۲-۲ تحلیل تنش و ارتعاشات آزاد میل لنگ
۳۳	۲-۲-۱ تحلیل تنش در میل لنگ
۳۳	۲-۲-۲-۱ تئوری شکست
۳۴	۲-۲-۲-۱-۱ تئوری گسیختگی انرژی واپیچشی
۳۸	۲-۲-۲-۱-۲ مدل سازی
۴۱	۲-۲-۲-۲-۱ شرایط مرزی
۴۷	۲-۲-۲-۲-۱-۵ اعمال خواص مواد

۶-۱-۲-۲ تحلیل تنش در میل لنگ تحت بارگذاری های مختلف	۵۰
۳-۲ بهینه سازی میل لنگ با تغییر شعاع فیلت یاتاقان ها	۵۰
۴-۲ تحلیل تنش میل لنگ در دنده معکوس	۵۱
۱-۴-۲ گشتاور اعمال شده به کلاچ	۵۱
۲-۴-۲ مدل سازی دنده معکوس	۵۴
۳-۴-۲ معادلات سیستم انتقال قدرت	۵۸
۵-۲ خستگی	۶۱
۶-۲ ارتعاشات آزاد میل لنگ	۶۵
۱-۶-۲ تعیین فرکانس های طبیعی میل لنگ	۶۶
۲-۶-۲ سرعت بحرانی	۶۹
<b>فصل سوم- نتایج</b>	۷۰
۱-۳ نتایج تحلیل دینامیکی مکانیزم لنگ	۷۱
۱-۳-۱ نتایج تحلیل سینماتیکی مکانیزم لنگ	۷۱
۱-۳-۲ نتایج بخش تحلیل سینتیکی	۷۳
۲-۳ نتایج حل عددی دنده معکوس	۸۰
۳-۳ نتایج تحلیل تنش میل لنگ	۸۵
۱-۳-۳ نتایج تحلیل تنش میل لنگ در سرعت دورانی $2800$ دور بر دقیقه (حالت تمام بار)	۸۵
۲-۳-۳ نتایج تحلیل تنش میل لنگ در سرعت دورانی $4800$ دور بر دقیقه (حالت تمام بار)	۸۸
۳-۳-۳ نتایج تحلیل تنش میل لنگ در دنده معکوس	۹۲
۴-۳ نتایج تحلیل تنش میل لنگ با تغییر شعاع فیلت ها	۱۰۳
۵-۳ نتایج مربوط به خستگی میل لنگ	۱۰۶
۶-۳ نتایج تحلیل ارتعاشات آزاد میل لنگ	۱۰۷
۱-۳ تحلیل ارتعاشی میل لنگ برای تعیین فرکانس های طبیعی میل لنگ در حالت آزاد- آزاد	۱۰۷

۲-۶-۳ تحلیل ارتعاشی میلنگ برای تعیین فرکانس‌های طبیعی میلنگ و چرخ طیار در حالت آزاد- آزاد	۱۰۹
فصل چهارم- نتیجه‌گیری و پیشنهادات	۱۱۳
۱-۴ نتیجه‌گیری	۱۱۴
۲-۴ پیشنهادات	۱۱۵
فهرست منابع	۱۱۶

## فهرست شکل‌ها

شکل ۱-۱ حساسیت پارامتری فرکانس طبیعی میل لنگ در مودهای مختلف به ازای ۲۰ درصد افزایش پارامتر	۹
شکل ۱-۲ تمرکز تنش در اجزای لنگ	۱۲
شکل ۱-۳ طرح‌واره اجزاء اصلی موتور	۱۶
شکل ۲-۱ سیکل‌های موتور چهار زمانه اتو	۱۶
شکل ۲-۲ منحنی فشار حاصل از احتراق در سرعت ۲۸۰۰ دور بر دقیقه در حالت تمام بار	۱۸
شکل ۲-۳ منحنی فشار حاصل از احتراق در سرعت ۴۸۰۰ دور بر دقیقه در حالت تمام بار	۱۸
شکل ۲-۴ منحنی فشار حاصل از احتراق در سرعت ۴۸۰۰ دور بر دقیقه در حالت بدون بار	۱۹
شکل ۲-۵ منحنی فشار حاصل از احتراق در سرعت ۴۸۰۰ دور بر دقیقه در حالت بدون بار	۱۹
شکل ۲-۶ اجزاء مکانیزم لنگ موتور	۲۰
شکل ۲-۷ طرح‌واره‌ای از مکانیزم لنگ موتور	۲۱
شکل ۲-۸ شتاب‌های عمودی و مماسی دسته پیستون	۲۴
شکل ۲-۹ نیروهای وارد بر پیستون در نقطه تلاقی دسته پیستون	۲۷
شکل ۲-۱۰ دسته پیستون و نیروهای واد بر آن	۲۸
شکل ۲-۱۱ تعیین گشتاور میل لنگ	۲۹
شکل ۲-۱۲ مجموعه مدل‌سازی شده در نرم‌افزار تحلیل گر دینامیکی آدامز انجین ۲۰۰۵	۳۰
شکل ۲-۱۳ مجموعه اجزاء محدود میل لنگ، مدل‌سازی شده توسط نرم‌افزار MSC/Patran	۳۹
شکل ۲-۱۴ نحوه دقیق ایجاد المان‌ها	۴۰
شکل ۲-۱۵ اندازه المان‌ها در نقاط مختلف	۴۰
شکل ۲-۱۶ محل اعمال فشار بر یاتاقان	۴۳
شکل ۲-۱۷ تصویر سطح مؤثر یاتاقان	۴۴
شکل ۲-۱۸ تعیین لزجت دینامیکی روغن بر حسب دما	۴۵
شکل ۲-۱۹ استخراج زاویه ماکزیمم فشار و زاویه رها شدگی فشار یاتاقانی	۴۶

۴۶	شکل ۲۰-۲ استخراج نسبت فشار متوسط به فشار ماکزیمم.....
۴۸	شکل ۲۱-۲ نمونه برش خورده یاتاقان متحرک میل لنگ متور Z۲۴ .....
۴۹	شکل ۲۲-۲ تصویر میکروسکوپی مناطق مرکزی نمونه یاتاقان متحرک میل لنگ Z۲۴ .....
۴۹	شکل ۲۳-۲ تصویر زیرساختار نمونه در مناطق سخت کاری شده.....
۵۲	شکل ۲۴-۲ نیروی عمودی اعمال شده توسط فنر خورشیدی به صفحه کلاچ.....
۵۴	شکل ۲۵-۲ گشتاور پیچشی صفحه کلاچ بر حسب زاویه دورانی آن.....
۵۸	شکل ۲۶-۲ متور و عناصر اصلی سیستم انتقال قدرت.....
۵۹	شکل ۲۷-۲ طرح واره در نظر گرفته شده برای مدل کردن در گیری کلاچ.....
۶۲	شکل ۲۸-۲ نمودار N-S که با استفاده از نتیجه آزمون های خستگی محوری کاملاً معکوس شونده رسم شده است.....
۶۴	شکل ۲۹-۲ ضریب اصلاحی پرداخت سطح.....
۶۸	شکل ۳۰-۲ مدل اجزاء محدود مجموعه میل لنگ و چرخ طیار.....
۷۱	شکل ۱-۳ شتاب پیستون در سرعت های دورانی ۲۸۰۰، ۴۸۰۰، ۵۷۰۰ و ۶۵۰۰ دور بر دقیقه بر حسب زوایای مختلف دوران میل لنگ.....
۷۲	شکل ۲-۳ شتاب عمودی دسته پیستون در سرعت های دورانی ۲۸۰۰، ۴۸۰۰، ۵۷۰۰ و ۶۵۰۰ دور بر دقیقه بر حسب زوایای مختلف دوران میل لنگ.....
۷۲	شکل ۳-۳ شتاب افقی دسته پیستون در سرعت های دورانی ۲۸۰۰، ۴۸۰۰، ۵۷۰۰ و ۶۵۰۰ دور بر دقیقه بر حسب زوایای مختلف دوران میل لنگ.....
۷۳	شکل ۴-۳ نیروهای وارد بر پیستون و یاتاقان متحرک در حالت تمام بار و سرعت ۲۸۰۰ دور بر دقیقه بر حسب زوایای مختلف دوران میل لنگ.....
۷۴	شکل ۵-۳ نیروهای وارد بر پیستون و یاتاقان متحرک در حالت تمام بار و در سرعت ۴۸۰۰ دور بر دقیقه بر حسب زوایای مختلف دوران میل لنگ.....
۷۵	شکل ۶-۳ نیروهای عمودی وارد بر تمام یاتاقان های متحرک در حالت تمام بار و در سرعت ۲۸۰۰ دور بر دقیقه بر حسب زوایای مختلف دوران میل لنگ.....
۷۵	شکل ۷-۳ نیروهای عمودی وارد بر تمام یاتاقان های متحرک در حالت تمام بار و در سرعت ۲۸۰۰ دور بر دقیقه.....

.....	حسب زوایای مختلف دوران میل لنگ	75
.....	شکل ۳-۳ نیروهای عمودی وارد بر یاتاقان متحرک با استفاده از دو روش دستی و نرمافزاری در حالت تمام بار و در سرعت ۲۸۰۰ دور بر دقیقه بر حسب زوایای مختلف دوران میل لنگ	76
.....	شکل ۳-۹ نیروهای عمودی وارد بر یاتاقان متحرک با استفاده از دو روش دستی و نرمافزاری در حالت تمام بار و در سرعت ۴۸۰۰ دور بر دقیقه بر حسب زوایای مختلف دوزان میل لنگ	77
.....	شکل ۳-۱۰ گشتاور خروجی میل لنگ حاصل از دو روش دستی و نرمافزاری در حالت تمام بار و در سرعت ۲۸۰۰ دور بر دقیقه بر حسب زوایای مختلف دوران میل لنگ	78
.....	شکل ۳-۱۱ گشتاور خروجی میل لنگ حاصل از دو روش دستی و نرمافزاری در حالت تمام بار و در سرعت ۴۸۰۰ دور بر دقیقه بر حسب زوایای مختلف دوران میل لنگ	78
.....	شکل ۳-۱۲ گشتاور خروجی موتور در سرعت‌های دورانی مختلف	79
.....	شکل ۳-۱۳ قدرت خروجی موتور در سرعت‌های دورانی مختلف	80
.....	شکل ۳-۱۴ دنده معکوس از ۳ به ۱ در ۳ ثانیه	81
.....	شکل ۳-۱۵ دنده معکوس از ۴ به ۱ در ۵ ثانیه	81
.....	شکل ۳-۱۶ دنده معکوس از ۴ به ۲ در ۳ ثانیه	82
.....	شکل ۳-۱۷ نیروهای عمودی وارد بر یاتاقان متحرک در دورهای مختلف در اثر استفاده از دنده معکوس در سرعت‌های دورانی مختلف موتور بر حسب زاویه دوران میل لنگ	83
.....	شکل ۳-۱۸ نیروهای افقی وارد بر یاتاقان متحرک در اثر استفاده از دنده معکوس در سرعت‌های دورانی مختلف موتور بر حسب زاویه دوران میل لنگ	84
.....	شکل ۳-۱۹ گشتاور خروجی میل لنگ در اثر استفاده از دنده معکوس در سرعت‌های دورانی مختلف موتور بر حسب زاویه دوران میل لنگ	84
.....	شکل ۳-۲۰ توزیع تنش ون-میسز در میل لنگ در سرعت دورانی ۲۸۰۰ دور بر دقیقه، $20^{\circ}$ بعد از احتراق سیلندر ۱ یا $20^{\circ}$ درجه بعد از چرخش میل لنگ	86
.....	شکل ۳-۲۱ توزیع تنش ون-میسز در میل لنگ در سرعت دورانی ۲۸۰۰ دور بر دقیقه، $20^{\circ}$ بعد از احتراق سیلندر ۳ یا $20^{\circ}$ درجه بعد از چرخش میل لنگ	86

شکل ۲۲-۳ توزیع تنش ون- میسز میلنگ در سرعت دورانی  $2800$  دور بر دقیقه،  $20^\circ$  بعد از احتراق سیلندر ۴

یا  $380$  درجه بعد از چرخش میلنگ ..... ۸۷

شکل ۲۳-۳ توزیع تنش ون- میسز در میلنگ در سرعت دورانی  $2800$  دور بر دقیقه،  $20^\circ$  بعد از احتراق سیلندر ۲ یا  $560$  درجه بعد از چرخش میلنگ ..... ۸۷

شکل ۲۴-۳ توزیع تنش ون- میسز در میلنگ در سرعت دورانی  $4800$  دور بر دقیقه،  $20^\circ$  بعد از احتراق سیلندر ۱ یا  $20$  درجه بعد از چرخش میلنگ ..... ۸۹

شکل ۲۵-۳ توزیع تنش ون- میسز در میلنگ در سرعت دورانی  $4800$  دور بر دقیقه،  $20^\circ$  بعد از احتراق سیلندر ۳ یا  $200$  درجه بعد از چرخش میلنگ ..... ۸۹

شکل ۲۶-۳ توزیع تنش ون- میسز در میلنگ در سرعت دورانی  $4800$  دور بر دقیقه،  $20^\circ$  بعد از احتراق سیلندر ۴ یا  $380$  درجه بعد از چرخش میلنگ ..... ۹۰

شکل ۲۷-۳ توزیع تنش ون- میسز در میلنگ در سرعت دورانی  $4800$  دور بر دقیقه،  $20^\circ$  بعد از احتراق سیلندر ۲ یا  $560$  درجه بعد از چرخش میلنگ ..... ۹۰

شکل ۲۸-۳ توزیع تنش ون میسز میلنگ در دنده معکوس و سرعت  $2800$  دور بر دقیقه در حالت  $T_{\max}$  ..... ۹۳

شکل ۲۹-۳ توزیع تنش ون میسز میلنگ در دنده معکوس و سرعت  $2800$  دور بر دقیقه در حالت  $T_{\min}$  ..... ۹۴

شکل ۳۰-۳ توزیع تنش ون میسز میلنگ در دنده معکوس و سرعت  $4800$  دور بر دقیقه در حالت  $T_{\max}$  ..... ۹۵

شکل ۳۱-۳ توزیع تنش ون میسز میلنگ در دنده معکوس و سرعت  $4800$  دور بر دقیقه در حالت  $T_{\min}$  ..... ۹۶

شکل ۳۲-۳ توزیع تنش ون میسز میلنگ در دنده معکوس و سرعت  $5700$  دور بر دقیقه در حالت  $T_{\max}$  ..... ۹۷

شکل ۳۳-۳ توزیع تنش ون میسز میلنگ در دنده معکوس و سرعت  $5700$  دور بر دقیقه در حالت  $T_{\min}$  ..... ۹۸

شکل ۳۴-۳ توزیع تنش ون میسز میل لنگ در دنده معکوس و سرعت ۶۵۰۰ دور بر دقیقه در حالت  $T_{\max}$

۹۹.....

شکل ۳۵-۳ توزیع تنش ون-میسز میل لنگ در دنده معکوس و سرعت ۶۵۰۰ دور بر دقیقه در حالت  $T_{\min}$

۱۰۰.....

شکل ۳۶ توزیع تنش ون-میسز میل لنگ در دنده معکوس و سرعت ۶۵۰۰ دور بر دقیقه در حالت  $T=0$

۱۰۱.....

شکل ۳۷-۳ توزیع تنش ون میسز میل لنگ با تغییر شاعر فیلت‌های یاتاقان‌های ثابت و متحرک به  $1/5$ (mm)

۱۰۴.....

شکل ۳۸-۳ توزیع تنش ون میسز میل لنگ با تغییر شاعر فیلت‌های یاتاقان‌های ثابت و متحرک به  $2/5$ (mm)

۱۰۵.....

شکل ۳۹-۳ فرکانس‌های طبیعی میل لنگ در حالت آزاد-آزاد

شکل ۴۰-۳ فرکانس‌های طبیعی مجموعه میل لنگ و چرخ طیار در حالت‌های آزاد-آزاد

## فهرست جداول

جدول ۱-۲ مشخصات مکانیکی چدن نشکن به عنوان ماده تشکیل دهنده میل لنگ موتور Z۲۴ ..... ۵۰
جدول ۱-۳ توزیع تنش ون-میسز و برشی در میل لنگ در حالت تمام بار ..... ۹۱
جدول ۲-۳ نحوه توزیع تنش ون-میسز و برشی در یاتاقان‌های ثابت و متحرک در دندنه معکوس ..... ۱۰۲
جدول ۳-۳ تغییرات تنش ون میسز و برشی میل لنگ با تغییر شعاع فیلت یاتاقان‌های ثابت و متحرک ..... ۱۰۶
جدول ۴-۳ فرکانس‌های طبیعی میل لنگ در هر شکل مود ..... ۱۰۹
جدول ۵-۳ فرکانس‌های طبیعی و مجموعه میل لنگ و چرخ طیار در هر شکل مود ..... ۱۱۱

## فهرست علائم

$A_c$	سطح درگیری کلاچ
$a$	ضریبی که به مدت زمان درگیری کلاچ بستگی دارد
$a_{cx}$	شتاب عمودی دسته پیستون
$a_{cy}$	شتاب افقی دسته پیستون
$a_g$	شتاب مرکز جرم دسته پیستون
$a_{g/p}$	شتاب در مرکز جرم دسته پیستون از دیدگاه ناظر غیر دورانی متحرک در مرکز گزن پین
$a_n$	شتاب عمودی در مرکز جرم دسته پیستون
$a_p$	شتاب متوسط پیستون
$a_t$	شتاب مماسی در مرکز جرم دسته پیستون
$B$	ماتریس رابط مؤلفه های کرنش نقاط داخلی المان با مقادیر جابجایی گره های المان
$C$	دمپینگ استهلاک ناشی از اصطکاک
$C_{cl}$	دمپر کلاچ
$C_d$	دمپر دیفرانسیل
$C_g$	دمپر جعبه دنده
$C_t$	دمپینگ معادل کلاچ برای همدور کردن سیستم انتقال قدرت
$C_v$	دمپینگ معادل خودرو
$c$	لقی یاتاقان
$D$	قطر محور یاتاقان
$E$	مدول الاستیسیته
$E_1$	مجموع انرژی معادل شده در شفت کلاچ و انرژی موتور بعد از تعویض دنده معکوس
$E_2$	انرژی کل مجموعه بعد از درگیری کلاچ
$e$	نسبت فاصله مرکز جرم دسته پیستون از مرکز چشم کوچک به طول مفید دسته پیستون

$F_g$	نیروی عمودی وارد پیستون
$F_s$	نیروی افقی وارد بر پیستون
$f$	نیروی گره‌ای المان
$f_n$	فرکانس طبیعی میل لنگ
$I_A$	گشتاور اینرسی در مرکز گزن‌پین
$J_e$	ممان اینرسی معادل موتور
$J_v$	ممان اینرسی معادل خودرو
$J_{veq}$	ممان اینرسی معادل خودرو در محور کلاچ
$J_w$	ممان اینرسی معادل چرخ محرک
$K$	ماتریس سختی
$k$	سختی
$k_a$	ضریب سطح
$k_b$	ضریب اندازه
$k_c$	ضریب قابلیت اعتماد
$k_d$	ضریب دما
$k_e$	ضریب اصلاحی برای تمرکز تنش
$k_f$	ضریب اثرهای دیگر
$l$	طول مفید دسته پیستون
$l_b$	طول محور یاتاقان
$M$	ماتریس جرم
$m$	جرم خودرو

$m_c$	جرم دسته پیستون
$m_p$	جرم پیستون
$N$	تعداد چرخهای تنش
$N_{cr}$	سرعت دورانی میل لنگ
$N_x$	نیروی عمودی وارد بر یاتاقان متحرک
$N_y$	نیروی افقی وارد بر یاتاقان متحرک
$n$	نسبت شعاع لنگ به طول مفید دسته پیستون
$n_s$	ضریب اطمینان طراحی
$P$	فشار وارد بر پیستون
$P_m$	فشار متوسط وارد بر واحد تصویر سطح یاتاقان
$P_{\max}$	بیشترین فشار لایه روغن
$p$	فشار نسبی وارد بر صفحه کلاچ
$q$	مرتبه سرعت دورانی
$R_x$	نیروی عمودی وارد بر چشم کوچک دسته پیستون
$R_y$	نیروی افقی وارد بر چشم کوچک دسته پیستون
$R_w$	شعاع چرخهای محرک خودرو
$r$	شعاع لنگ
$r_b$	شعاع محور یاتاقان
$r_d$	نسبت سرعت زاویه‌ای محور خروجی جعبه دنده به سرعت زاویه‌ای چرخهای محرک خودرو
$r_g$	نسبت سرعت زاویه‌ای محور ورودی جعبه دنده به سرعت زاویه‌ای محور خروجی جعبه دنده
$r_{g/p}$	فاصله برداری مرکز جرم دسته پیستون از مرکز گزن پین
$r_i$	شعاع داخلی صفحه کلاچ
$r_o$	شعاع خارجی صفحه کلاچ

$S_e$	حد دوام جزء مکانیکی
$S_f$	استحکام خستگی واقعی
$S_m$	عدد سامرفیلد
$S_u$	استحکام کششی
$S_y$	استحکام تسلیم
$S'_e$	حد دوام نمونه تیر چرخان
$S'_f$	استحکام خستگی
$s$	فاصله مرکز جرم دسته پیستون از مرکز چشم کوچک
$T$	گشتاور لنگ
$T_{cl}$	گشتاور اعمال شده به کلاچ
$T_e$	گشتاور خروجی میل لنگ
$T_{\max}$	ماکریم گشتاور میل لنگ
$T_{\min}$	مینیمم گشتاور میل لنگ
$t$	زمان
$V$	سرعت متوسط پیستون
$v$	سرعت سایش صفحات کلاچ
$W$	برآیند نیروهای وارد بر یاتاقان
$x$	فاصله مرکز گزن پین از مرکز لنگ
$\alpha$	شتاب زاویه ای میل لنگ
$\beta$	زاویه موقعیت دسته پیستون با امتداد حرکت پیستون
$\gamma_{xy}$	کرنش برشی در صفحه XY
$\gamma_{xz}$	کرنش برشی در صفحه XZ
$\gamma_{yz}$	کرنش برشی در صفحه YZ
$\delta d$	جابجایی مجازی گرهای

$\delta u_e$	انرژی کرنشی ظاهری ناشی از تنش‌های داخلی
$\delta w_e$	انرژی مجازی انجام شده توسط نیروهای خارجی
$\varepsilon$	نسبت خارج از مرکزی
$\varepsilon_x$	کرنش در راستای محور X
$\varepsilon_y$	شتاب زاویه‌ای میل لنگ
$\varepsilon_z$	زاویه موقعیت دسته پیستون با امتداد حرکت پیستون
$\eta$	شتاب زاویه‌ای مرکز جرم دسته پیستون
$\theta$	زاویه چرخش لنگ
$\theta_{P_{\max}}$	زاویه ماکزیمم فشار وارد بر یاتاقان
$\theta_{p_0}$	زاویه رها شدن فشار در یاتاقان
$\lambda$	سرعت زاویه‌ای مرکز جرم دسته پیستون
$\mu$	ضریب اصطکاک بین صفحات کلاچ
$\mu_o$	لزجت دینامیکی روغن موتور
$\mu_{\max}$	ضریب اصطکاک بین صفحات کلاچ در زمان لغزش صفحات کلاچ روی هم
$\mu_{\min}$	ضریب اصطکاک بین صفحات کلاچ در زمان کوپل شدن صفحات کلاچ روی هم
$\mu_s$	ضریب اصطکاک استاتیکی صفحه کلاچ
$\nu$	ضریب پواسون
$\rho$	چگالی جرمی
$\sigma'$	تنش معیار ون-میسز
$\sigma_1$	تنش اصلی در محور اول
$\sigma_2$	تنش اصلی در محور دوم
$\sigma_3$	تنش اصلی در محور سوم
$\phi$	بردارهای ویژه